

第十三、位级运算架构

在 DSP 程序中，最为常见的运算就是**乘法**和**加法**。在高级设计中，常常会碰到乘法和加法的位级架构设计，涉及到位并行、位串行和数位串行三种实现类型。

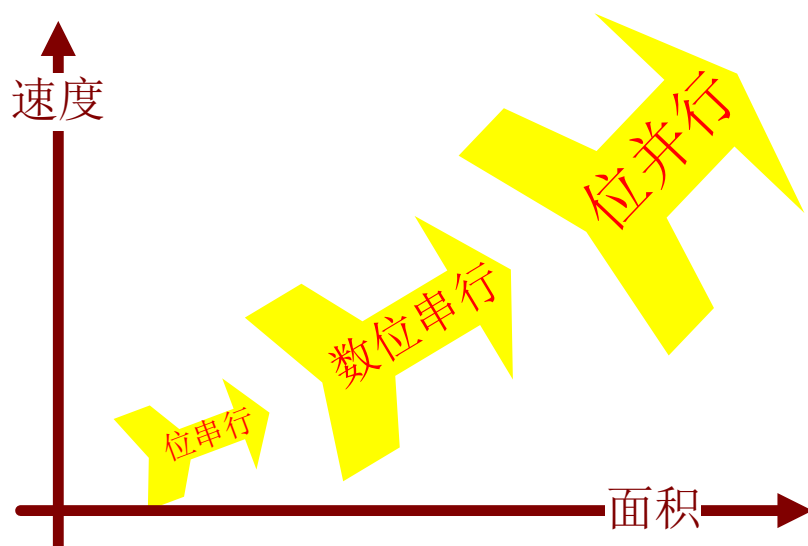


图 1 位并行、数位串行 和 位串行 系统的速度和面积比较

位并行系统每个时钟周期处理输入样点的一个字，占用资源多但速度快；**位串行**系统每个时钟周期处理输入样点的一个位，速度慢但占用资源少；而**数位串行**居于两者之间，是一个折中方案。这么看来，掌握以上三种不同类型电路设计方法，就能根据实际情况给出有针对性的系统方案。

注意，位级架构设计是一个复杂的话题，目前还没统一设计方法——因此，这一章只讨论乘法器和滤波器的位级架构设计，而且主要关注 ① 位并行 和 ② 位串行 两者情况。其他系统的位级架构设计请调研相关的文献。

在本章的讨论中，我们不应满足于了解或记忆课本上给出的设计结果，而应该深入的考究为什么可以这么设计？为了弄懂“到底为什么可以这么设计”，我们的讨论将深入细节，也许你会觉得很琐碎，看不下去。。但请记住，这是位级的架构设计，而非算法级，所以不把琐碎的细节弄清楚就学不到东西。

讨论具体硬件设计方法之前，先进行一些约定：假设所有的有符号数都采用定点 2 的补码表示（2C），一个 W 位 $[-1, 1)$ 的数 A 可表示为

$$A = a_0.a_1a_2 \cdots a_{W-1} = -a_0 + \sum_{i=1}^{W-1} a_i \cdot 2^{-i} \quad (1)$$

其中， $a_0 \in \{0, 1\} \wedge a_i|_{i=1, \dots, W-1} \in \{0, 1\}$ ，根据 2C 数定义， a_0 称为符号位，显然公式(1)

定义了一个 $[-1, 1)$ 的小数，包括-1，但不包括+1（请记住这一点），对于公式(1)所表示的定点数记为S1.W-1。一般的，定点数SN.M，其中S表示一位符号位，N位整数位，M位小数位，如公式(2)

$$a_N \cdots a_1 a_0 . \underline{a_1} \underline{a_2} \cdots \underline{a_M} = -a_N \cdot 2^N + \sum_{i=0}^{N-1} a_i \cdot 2^i + \sum_{i=0}^M \underline{a_i} \cdot 2^{-i} \quad (2)$$

对于无符号定点数，可以直接记为N.M，其中N位整数，M位小数位，如公式(3)

$$a_{N-1} \cdots a_1 a_0 . \underline{a_1} \underline{a_2} \cdots \underline{a_M} = \sum_{i=0}^{N-1} a_i \cdot 2^i + \sum_{i=0}^M \underline{a_i} \cdot 2^{-i} \quad (3)$$

注意，对于具有负权值的系数，我们用带下划线的 $\underline{a_i}$ 表示，整数部分的系数用正常的 a_i 表示，也可以认为 $\underline{a_i} = a_{-i}$ 。

另：本章的最后一节DA算法中，还会涉及到偏移数的表示，具体在DA算法中讨论！

两个W位2C数相乘，精确结果为2W-1位2C数，如公式(4)

$$P = A \cdot B = \left(-a_0 + \sum_{i=1}^{W-1} \underline{a_i} \cdot 2^{-i} \right) \cdot \left(-b_0 + \sum_{i=1}^{W-1} \underline{b_i} \cdot 2^{-i} \right) = -p_0 + \sum_{i=1}^{2(W-1)} \underline{p_i} \cdot 2^{-i} \quad (4)$$

这个不难理解，从

$$\left(\underline{a_{W-1}} \cdot 2^{-(W-1)} \right) \cdot \left(\underline{b_{W-1}} \cdot 2^{-(W-1)} \right) = \underline{a_{W-1}} \cdot \underline{b_{W-1}} \cdot 2^{-2(W-1)}$$

即可看出，P的最小权值为 $2^{-2(W-1)}$ ；又因为 $(A, B \in [-1, 1)) \wedge (A, B \text{不同时为}-1)$ ，所以 $P \in [-1, 1)$ 。在有限字长的计算中，可以对P的低位进行截断，最简单的方法就是直接舍弃（另一种方法是四舍五入）

$$P = -p_0 + \sum_{i=1}^{2(W-1)} \underline{p_i} \cdot 2^{-i} = -p_0 + \sum_{i=1}^{W-1} \underline{p_i} \cdot 2^{-i} + \sum_{i=W}^{2(W-1)} \underline{p_i} \cdot 2^{-i}$$

$$\bar{P} = -p_0 + \sum_{i=1}^{W-1} \underline{p_i} \cdot 2^{-i}$$

直接舍弃

图2 有限字长乘法中的截断，红圈部分为截断误差， $err \in (-2^{-W+1}, 2^{-W+1})$

注意，A和B不能同时为-1，否则 $P=(-1)*(-1)=1$ ，发生计算溢出。当然了，可以设置硬件检测电路，当发现 $A=B=-1$ 时，用 $0.\underbrace{11 \cdots 1}_{W-1 \text{个} 1}$ 作为P的近似值也是可以的。。。大致的设计思路如下图（未优化），

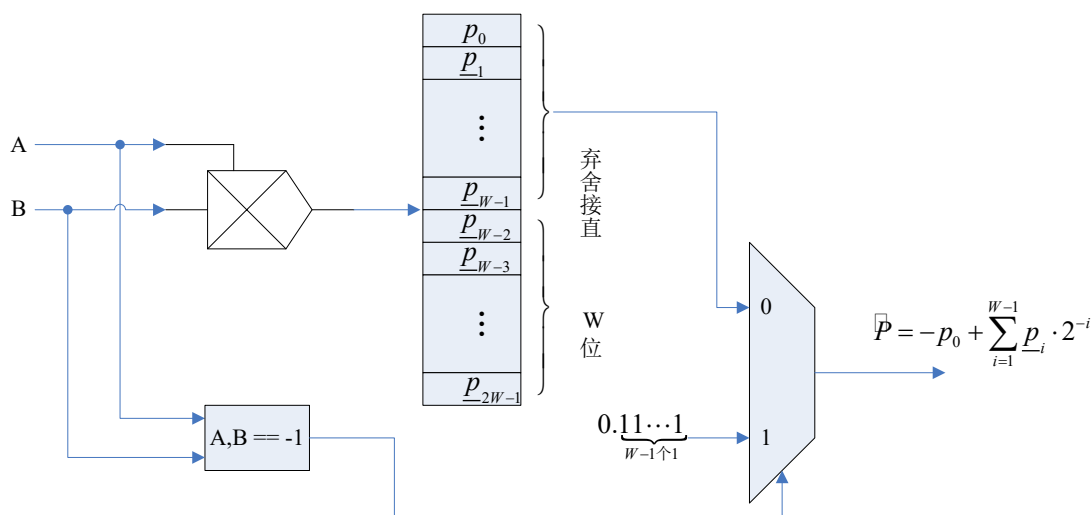


图 3 改进的 2C 乘法模块

Horner 法则¹，多项式求值快速算法，使用最少的乘法次数计算多项式的值，如公式(5)

$$P(x) = p_0 + \sum_{i=1}^N p_i \cdot x^i \quad (5)$$

先看看“最笨的”计算方式的复杂度

$$\overbrace{p_0 + \underbrace{p_1 \cdot x}_{1\text{次乘法}} + \underbrace{p_2 \cdot x \cdot x}_{2\text{次乘法}} + \dots + \underbrace{p_N \cdot x \cdot \dots \cdot x}_{N\text{次乘法}}}_{N\text{次加法}} \quad (6)$$

一共需要 $(N^2 + N)/2$ 次乘法和 N 次加法。。

再来看看“中等笨”的计算方式，

$$\begin{array}{c} \begin{array}{ccccccc} x & \xrightarrow{\underbrace{x \cdot x}_{1\text{次乘法}}} & x^2 & \xrightarrow{\underbrace{x^2 \cdot x}_{1\text{次乘法}}} & x^3 & \xrightarrow{\dots} & x^{N-1} & \xrightarrow{\underbrace{x^{N-1} \cdot x}_{1\text{次乘法}}} & x^N \end{array} \\ \begin{array}{ccccccc} p_0 + \underbrace{p_1 \cdot x}_{1\text{次乘法}} + \underbrace{p_2 \cdot x^2}_{1\text{次乘法}} + \underbrace{p_3 \cdot x^3}_{1\text{次乘法}} + \dots + \underbrace{p_{N-1} \cdot x^{N-1}}_{1\text{次乘法}} + \underbrace{p_N \cdot x^N}_{1\text{次乘法}} \end{array} \\ \hline N\text{次加法} \end{array} \quad (7)$$

这种方式“巧妙的”利用前一项计算后一项，即 $x^i \cdot x \rightarrow x^{i+1}$ ，这样避免重复的乘法运算，总的复杂度为 $2N - 1$ 乘法， N 次加法。。

最后，看看 Horner 计算方式，

$$\underbrace{p_0 + \left(\underbrace{p_1 + \left(\underbrace{p_2 + \left(\dots \left(\underbrace{p_{N-1} + p_N \cdot x}_{N\text{次乘法}} \right) \cdot x \right) \dots}_{N\text{次乘法}} \right) \cdot x \right) \cdot x}_{N\text{次加法}} \quad (8)$$

¹ 霍纳法则，可用于设计迭代乘法器

只需要 N 次乘法和 N 次加法。。比较说来，三种方法在加法次数上一样，但所需乘法次数 Horner 方式最少，实际上 Horner 方式所需乘法次数和加法次数恰好是多项式阶数大小。

下面跑跑题，来练习一下基于 Horner 法则的迭代乘法器设计。乘法算式如下

$$P = A \cdot B = A \cdot \left(-b_0 + \sum_{i=1}^{W-1} b_i \cdot 2^{-i} \right) = -(A \cdot b_0) + \sum_{i=1}^{W-1} (A \cdot b_i) \cdot 2^{-i} \quad (9)$$

对比公式(5)和(9)，相当于令

$$\begin{aligned} N &= W - 1 \\ x &= 2^{-1} \\ p_0 &= -(A \cdot b_0) \\ \underline{p}_i &= A \cdot \underline{b}_i \end{aligned} \quad (10)$$

当然了，公式(5)中的乘法运算在公式(9)中变为取相反数或者右移操作。

思考题：请问，算术右移和逻辑右移的区别；2C 数的右移操作操作（乘 1/2）属于哪一种，具体硬件电路如何设计？

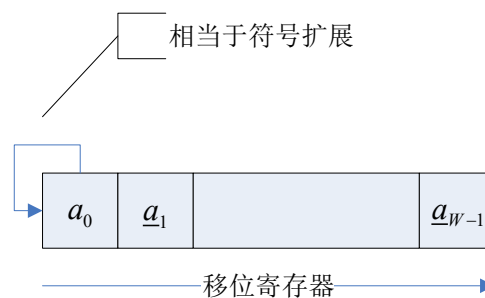


图 4 2C 数的算术右移，等价于乘 1/2

下面根据公式(11)来设计一个迭代乘法器，

$$P = -A \cdot b_0 + \left(A \cdot \underline{b}_1 + \left(A \cdot \underline{b}_2 + \left(\dots \left(A \cdot \underline{b}_{W-2} + A \cdot \underline{b}_{W-1} \cdot 2^{-1} \right) \cdot 2^{-1} \dots \right) \cdot 2^{-1} \right) \cdot 2^{-1} \right) \cdot 2^{-1} \quad (11)$$

不要以为很容易设计，一上来很多同学会忽略甚至都没想到，中间结果溢出的情况。为了避免中间结果溢出，有两个方式：1) 强制输入的操作数在 $[-1/2, 1/2]$ 之间，2) 符号扩展一位。

对于第 1 种方式，本质上就是用“不考虑溢出的 $W+1$ 字长的乘法器来进行 W 字长乘法”，其中缘由大家自己思考。下面是用第 2 种方式来设计 Horner 迭代乘法器，

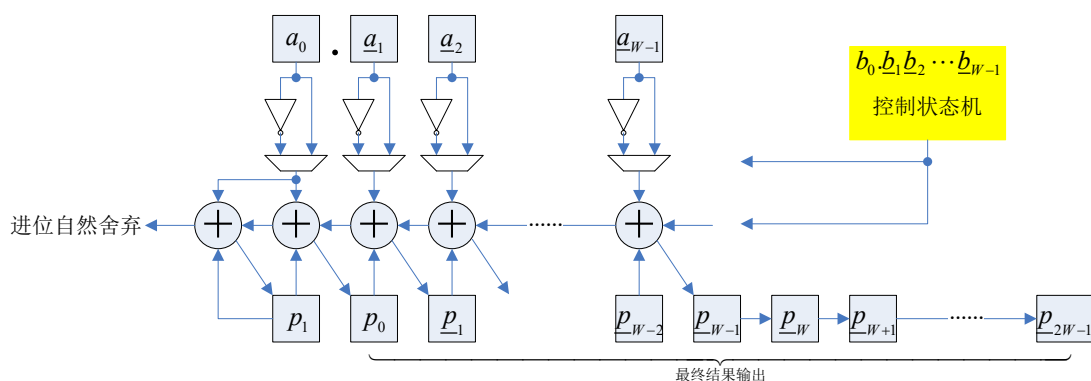


图 5 Horner 迭代乘法器

并行乘法器设计

这一段我们讨论几种典型的并行乘法器（也成为阵列乘法器）设计，进行某种并行乘法器设计之前，首先要清楚乘法的内部细节，

$$\begin{aligned}
 A \cdot B &= (-a_3 \cdot 2^3 + a_2 \cdot 2^2 + a_1 \cdot 2^1 + a_0 \cdot 2^0)(-b_3 + b_2 \cdot 2^1 + b_1 \cdot 2^1 + b_0 \cdot 2^0) \\
 &= (-a_3 + a_2 \cdot 2^2 + a_1 \cdot 2^1 + a_0 \cdot 2^0) \cdot b_0 \cdot 2^0 \\
 &\quad + (-a_3 + a_2 \cdot 2^2 + a_1 \cdot 2^1 + a_0 \cdot 2^0) \cdot b_1 \cdot 2^1 \\
 &\quad + (-a_3 + a_2 \cdot 2^2 + a_1 \cdot 2^1 + a_0 \cdot 2^0) \cdot b_2 \cdot 2^2 \\
 &\quad - (-a_3 + a_2 \cdot 2^2 + a_1 \cdot 2^1 + a_0 \cdot 2^0) \cdot b_2 \cdot 2^3 \\
 &= (-a_3 b_0 + a_2 b_0 \cdot 2^2 + a_1 b_0 \cdot 2^1 + a_0 b_0 \cdot 2^0) \cdot 2^0 \\
 &\quad + (-a_3 b_1 + a_2 b_1 \cdot 2^2 + a_1 b_1 \cdot 2^1 + a_0 b_1 \cdot 2^0) \cdot 2^1 \\
 &\quad + (-a_3 b_2 + a_2 b_2 \cdot 2^2 + a_1 b_2 \cdot 2^1 + a_0 b_2 \cdot 2^0) \cdot 2^2 \\
 &\quad + (-\bar{a}_3 b_3 + \bar{a}_2 b_3 \cdot 2^2 + \bar{a}_1 b_3 \cdot 2^1 + \bar{a}_0 b_3 \cdot 2^0 + LSB'1) \cdot 2^3
 \end{aligned} \tag{12}$$

将公式(12)写成表格形式如图 6，

			$-a_3$	a_2	a_1	a_0
\times			$-b_3$	b_2	b_1	b_0
			$-a_3 b_0$	$a_2 b_0$	$a_1 b_0$	$a_0 b_0$
		$-a_3 b_1$	$a_2 b_1$	$a_1 b_1$	$a_0 b_1$	
	$-a_3 b_2$	$a_2 b_2$	$a_1 b_2$	$a_0 b_2$		
	$-\bar{a}_3 b_3$	$\bar{a}_2 b_3$	$\bar{a}_1 b_3$	$\bar{a}_0 b_3$		
			b_3			
	p_6	p_5	p_4	p_3	p_2	p_1
						p_0

图 6 2C 乘法的内部细节

注意，，图 6 所表示的是 2C 乘法细节，所以 $-a_3 b_i$ 前面都带有负号，且第四行清楚的表示了

取反+ $LSB'1$ 。

如何（直观地）设计图五的乘法硬件电路呢？首先要明白一点是：图 6 中上下两行相加，必须进行符号位对齐，也就是说

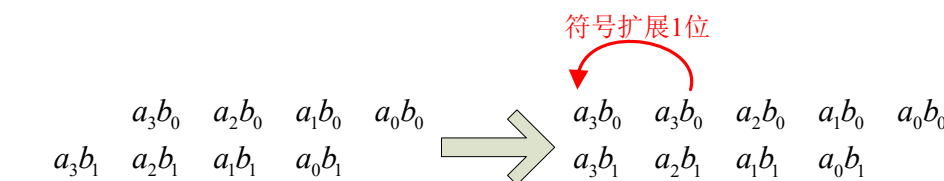


图 7 2C 数相加之前要进行符号对齐，使用符号扩展一位即可解决

这样一来，图 6 的硬件过程变为

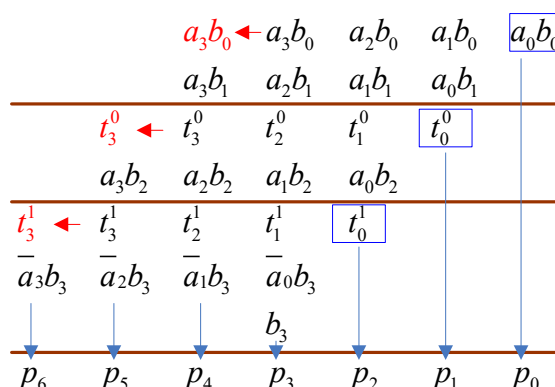


图 8 不考虑内部溢出的 2C 乘法过程

图 8 所示的过程是不考虑内部溢出的，实际上如果不对输入进行限制，则最终计算结果可能出错：解决方法之一就是限制输入操作数取值范围为原来的 1/2，这样就不会发生溢出；另一种解决方法是多进行一位符号扩展。

本质上说，第一种解决方法就是用 $W+1$ 字长乘法器（图 8）来完成 W 字长的操作数相乘。下面重点讨论一下第二种解决方法，

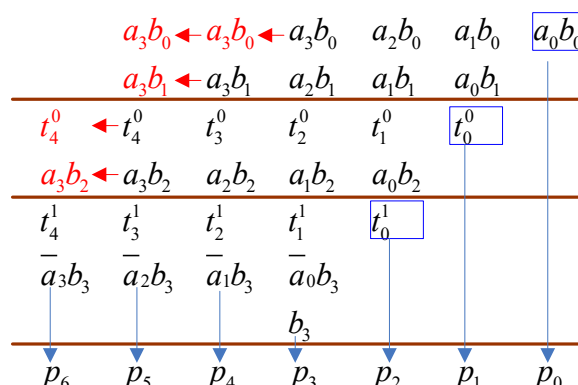


图 9 考虑内部溢出的 2C 乘法过程，使用符号扩展来避免溢出

练习题：为了验证图 9 计算过程的正确性，可以设置溢出检测电路（图 75 左图），如果没检测到溢出错误，则图 9 计算过程是正确的。试用 verilog 代码来描述电路，并进行详尽的

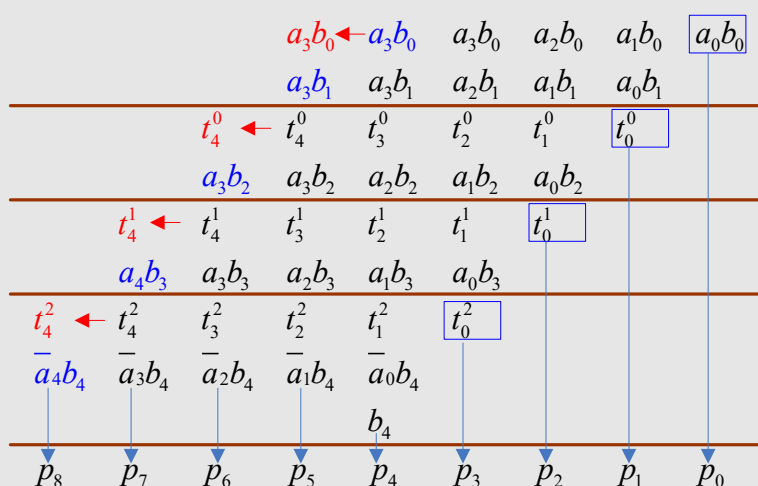
仿真！

更为“吝啬的”的警戒位设计方案

先来讨论原始警戒位设计方案，假设输入字长 $W=4$ 。因为设置一位警戒位，实际是操作数变为

$$\begin{cases} A &= a_3 & a_3 & a_2 & a_1 & a_0 \\ B &= b_3 & b_3 & b_2 & b_1 & b_0 \end{cases}$$

然后按图 8 的计算方式计算即可, 如下图,

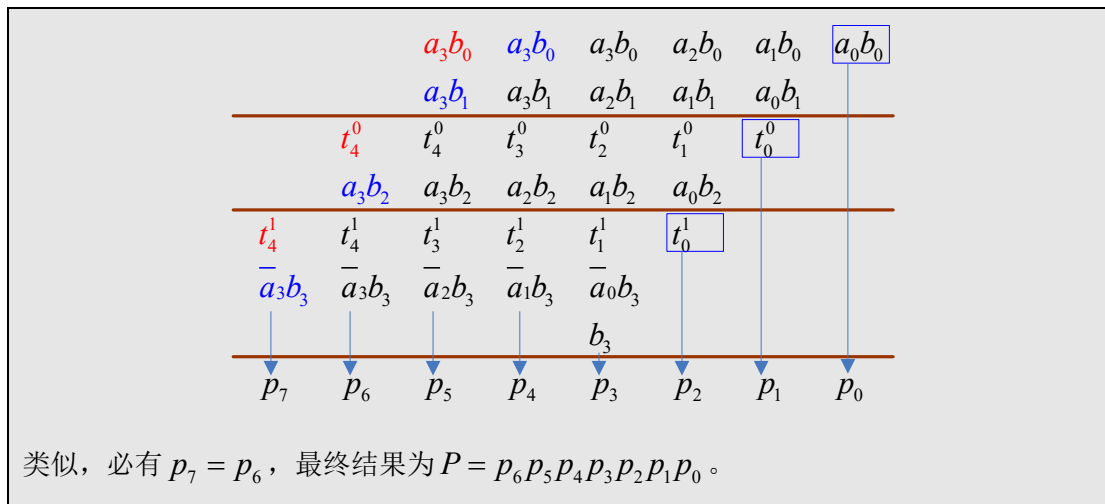


这就相当于，使用 $W+1$ 位的不考虑内部溢出的乘法器来实现 W 位乘法，，计算结果如果正确的话，必有 $p_8 = p_7 = p_6$ ，其实是符号扩展造成的影响（可进行仿真验证），最终输出结果应为 $P = p_6 p_5 p_4 p_3 p_2 p_1 p_0$ 。

上面的计算方法是有冗余的，实际上只需在其中一个操作数上设立警戒位即可，比如说将操作数改为，

$$\begin{cases} A &= & \textcolor{blue}{a}_3 & a_3 & a_2 & a_1 & a_0 \\ B &= & & b_3 & b_2 & b_1 & b_0 \end{cases}$$

只在 A 上设立警戒位，B 不设置，这样可以减少一次部分积累加，加快乘法速度，具体的计算过程如下图



上面我们介绍了若干种稍有不同的并行乘法器计算过程，下面以图 8 过程为例，给出具体的硬件电路，其他计算过程也可类似构造电路！

观察图 8 可知，乘法器说到底就是多次部分积累加运算，，如何来快速完成多次累加呢？

1) 最简单的，串行进位加法

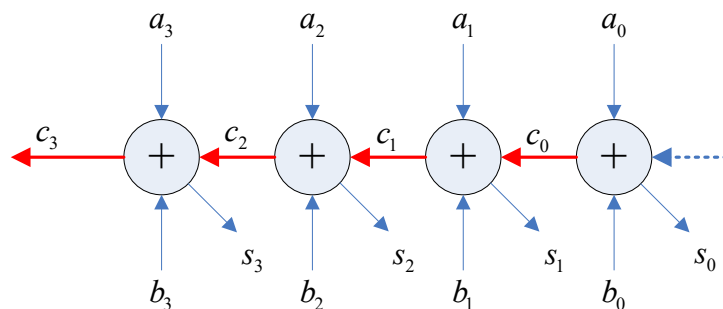


图 10 串行进位加法器，红线为进位链

2) 速度更快，进位保留加法（CSA）

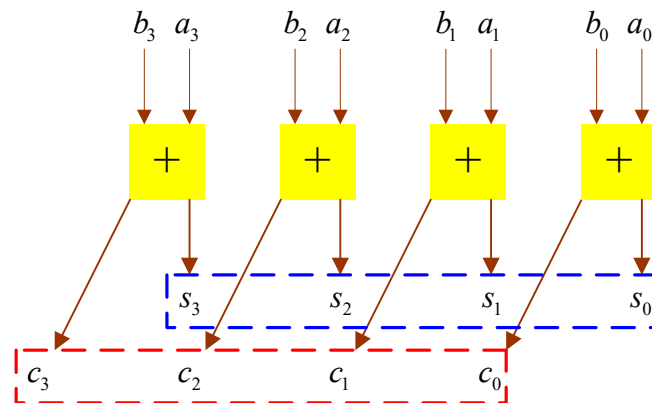


图 11 进位保留加法器，没有进位链

进位保留加法是一种很巧妙的技术，不过有点让人莫名其妙，因为图 11 并没给出完整

的加法结果，而只是分别给出了“和 S”以及“进位 C”，，要得到最终结果，还必须将 S 和 C 相加。？？？很多人会有疑问，这种设计能带来啥好处？不急，其实进位保留加法优势在于多次累加，如图

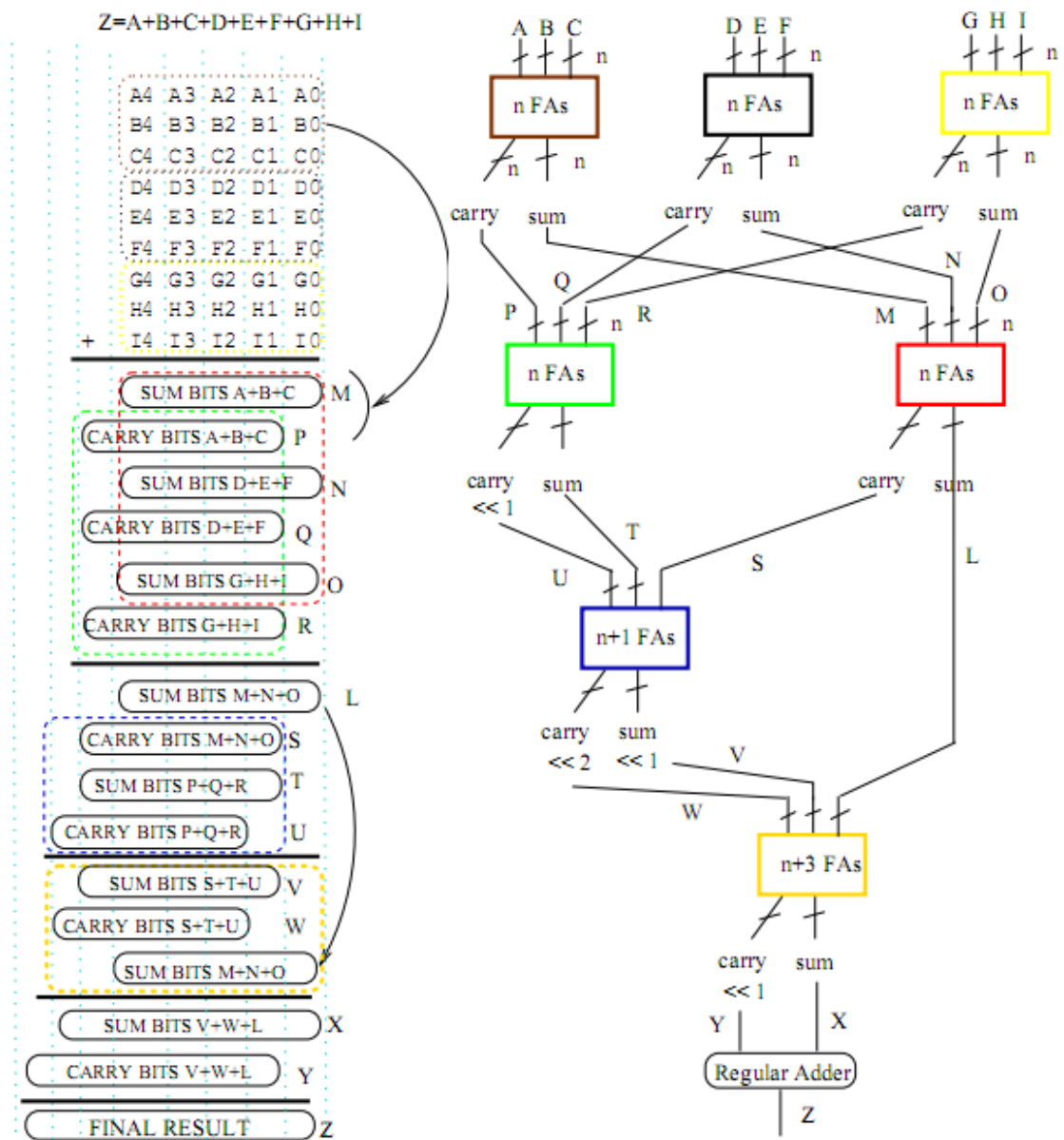


图 12 多次累加的进位保留加法运算，只在最后一级需要一个矢量合并器（常规加法器）

[点击查看详情](#)

以图 8 为例，采用不同的累加方式得到不同的阵列乘法器依赖图。采用串行进位的阵列乘法器依赖图如图 13，使用水平的割集流水线可将关键路径从 $2W(+1*)$ 缩短为 W ，如图 14。

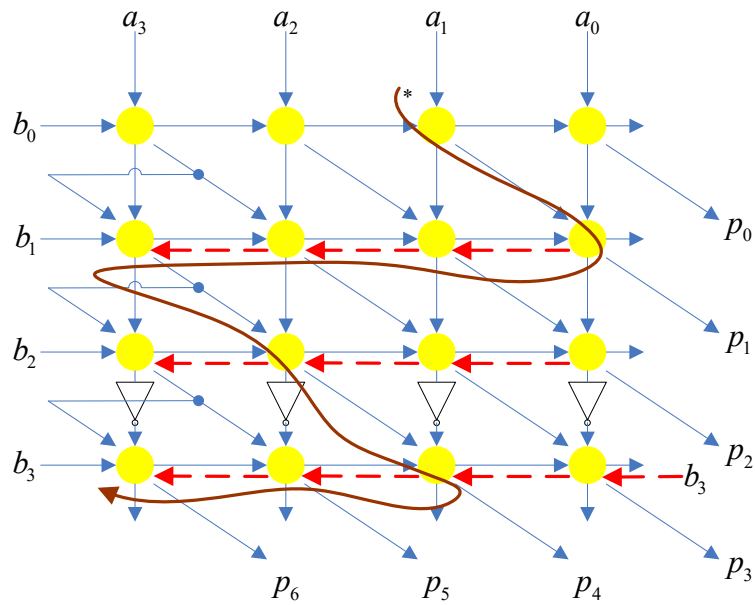


图 13 4x4 位串行进位阵列乘法器依赖图，褐色线为关键路径， $2W(+1^*)$

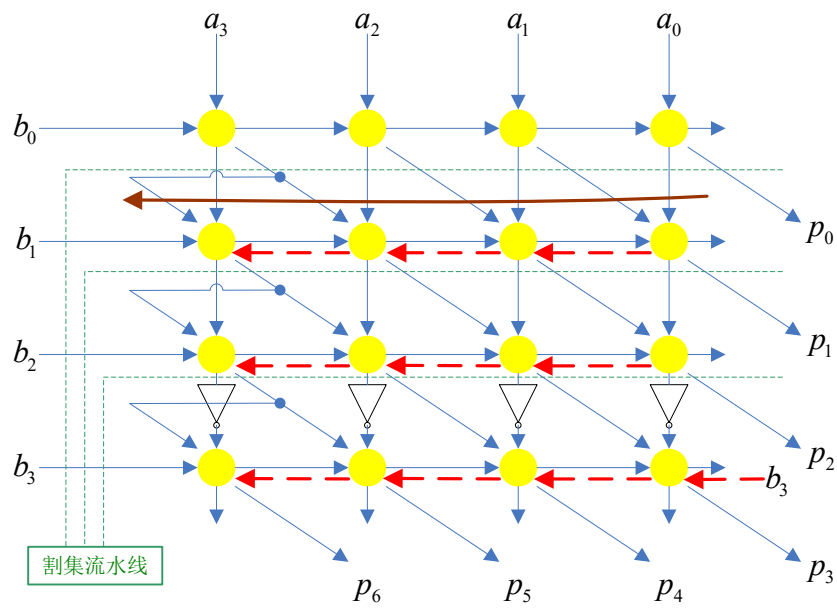


图 14 使用割集流水线斩断关键路径，新关键路径长 W

采用进位保留累加方式的阵列乘法器依赖图如图 15，撇开矢量合并器不提，关键路径长度为 $W-1(+1^*)$ ，同样的可以使用割集流水线斩断关键路径，如图 16 使用了 2 维流水线，关键路径缩短为 1。。。。

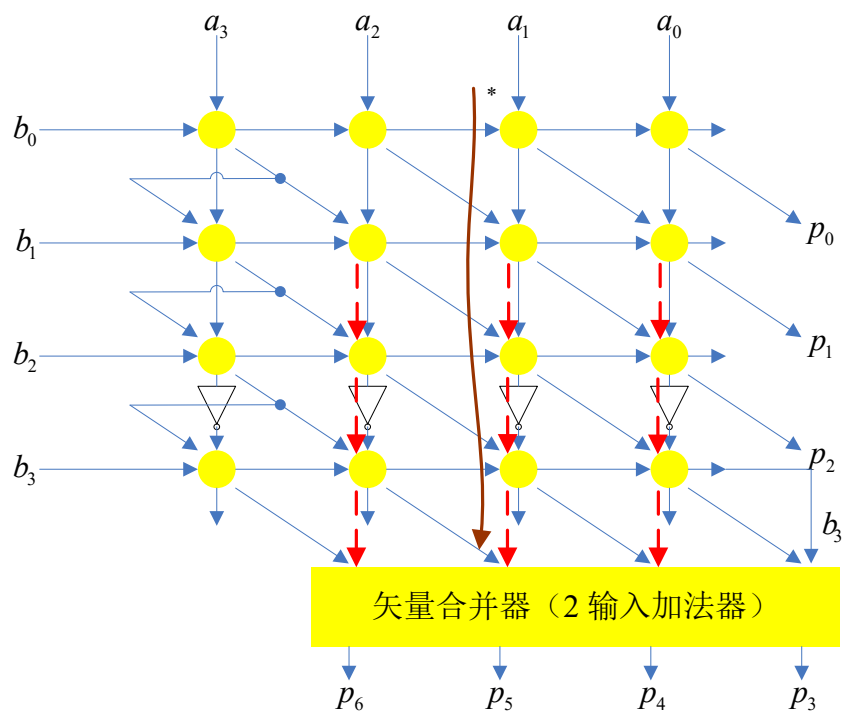


图 15 4x4 进位保留乘法阵列，不考虑矢量合并器的话，关键路径长为 $W-1(+1^*)$

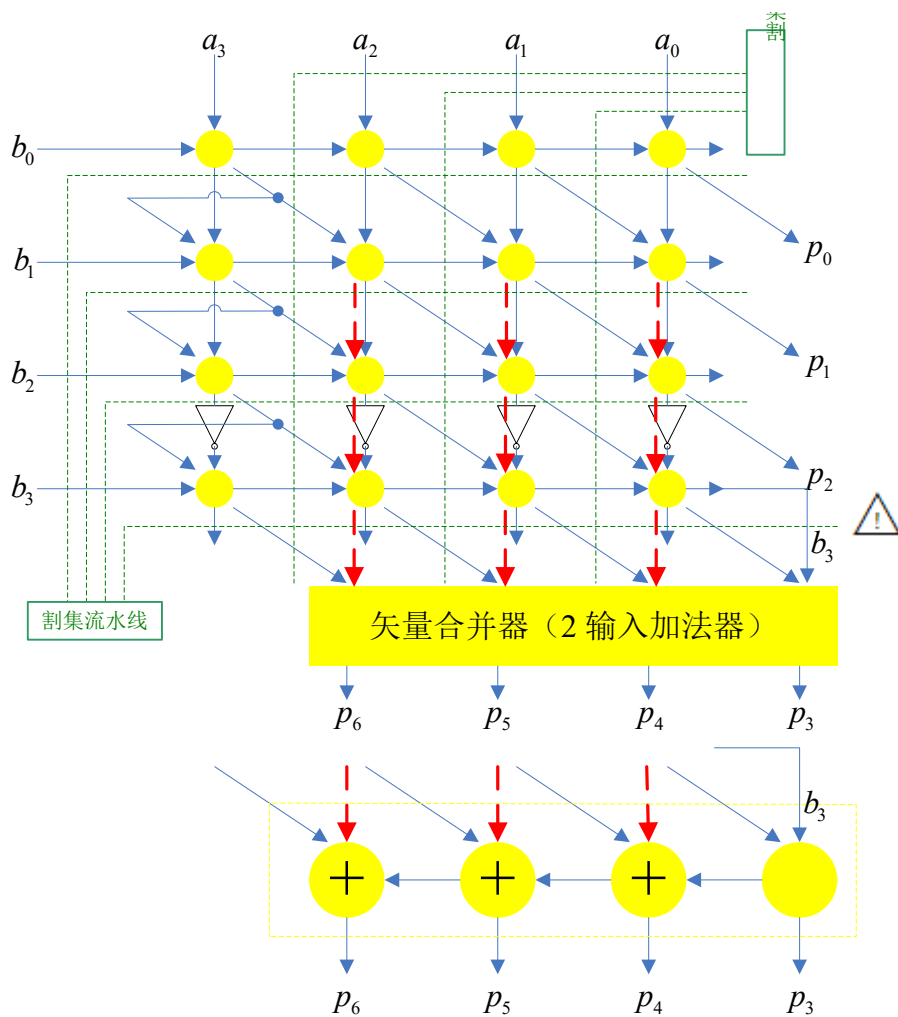
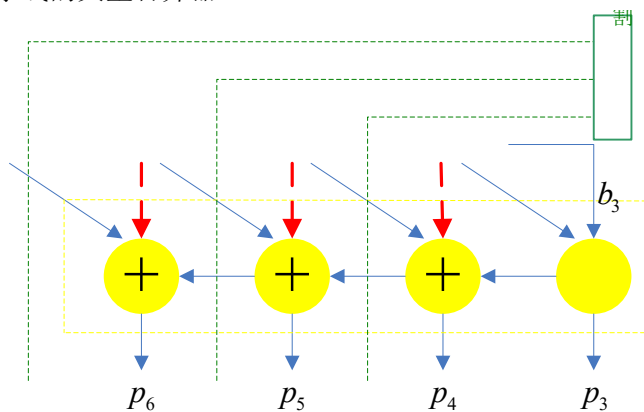


图 16 使用 2 维流水线的进位保留加法器，关键路径缩短为 1，，？？

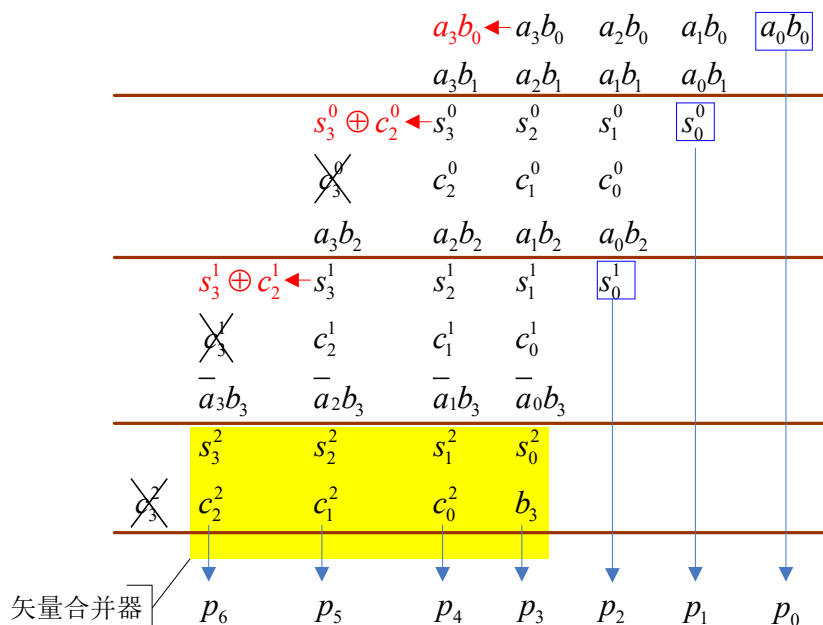
实际上，必须设计出关键路径为 1 的矢量合并器，才能使得图 16 运转起来！当然了，存在很多高速加法器设计方案，所以不要担心实现不了。

思考题：不要以为图 16 中竖直方向流水线技术可应用于矢量合并器，为什么呢？有没有办法在矢量合并器中使用竖直割集流水线呢（提示，请体会课本图 13-7 和图 13-9，其中提供了可用竖直割集流水线的矢量合并器）？



我的疑问？

图 15 和 图 16 给出了基于进位保留累加方式的阵列乘法器依赖图（来自于课本）及其流水线实现方案，但是，进位保留加法器可能会在符号扩展的计算上出错！！



正如下图所示，除了第一次累加是正常符号扩展之外，第二次和第三次（除了矢量合并外所有后面的累加），其符号扩展应该是“和最高位 \oplus 相应的进位位”作为符号扩展，而不是“和最高位”作为符号扩展位！

也许仿真验证一下更能知道哪个是对，哪个是错！（不是说课本上错误，只是可能作者没有给出所有细节，因此学习者应该自己把这些细节补上）

上面一段都是基于图 8 来进行设计，细心的同学会发现，每次累加都需要进行符号扩展来进行符号位对齐，一个巧妙的想法是：能不能把具有负权值的项统一放到最后进行累加呢？

下面就动手来试试，看能否实现！从原始乘法公式入手，

$$\begin{aligned}
 A \cdot B &= \left(-a_3 \cdot 2^3 + \sum_{i=0}^2 a_i \cdot 2^i \right) \left(-b_3 \cdot 2^3 + \sum_{i=0}^2 b_i \cdot 2^i \right) \\
 &= \left(b_3 \cdot a_3 \cdot 2^6 \right) + \\
 &\quad \left(-a_3 \cdot 2^3 \cdot \sum_{i=0}^2 b_i \cdot 2^i \right) + \left(-b_3 \cdot 2^3 \cdot \sum_{i=0}^2 a_i \cdot 2^i \right) + \\
 &\quad \left(\left(\sum_{i=0}^2 a_i \cdot 2^i \right) \left(\sum_{i=0}^2 b_i \cdot 2^i \right) \right)
 \end{aligned} \tag{13}$$

公式(13)红色部分两项都是纯粹的负数，首先将其转化为常规补码形式，如下

$$\begin{array}{r}
 \begin{array}{ccccccc}
 2^6 & 2^5 & 2^4 & 2^3 & 2^2 & 2^1 & 2^0 \\
 -(& 0 & \overline{a_3 b_2} & \overline{a_3 b_1} & \overline{a_3 b_0} & 0 & 0 & 0 &) \\
 1 & \overline{a_3 b_2} & \overline{a_3 b_1} & \overline{a_3 b_0} & 1 & 1 & 1 & + & LSB'1
 \end{array} \\
 \hline
 1 & \overline{a_3 b_2} & \overline{a_3 b_1} & \overline{a_3 b_0} & & & & & \\
 + & & & & 1 & & & &
 \end{array}$$

图 17

$$\begin{array}{r}
 \begin{array}{ccccccc}
 2^6 & 2^5 & 2^4 & 2^3 & 2^2 & 2^1 & 2^0 \\
 -(& 0 & \overline{a_2 b_3} & \overline{a_1 b_3} & \overline{a_0 b_3} & 0 & 0 & 0 &) \\
 1 & \overline{a_2 b_3} & \overline{a_1 b_3} & \overline{a_0 b_3} & 1 & 1 & 1 & + & LSB'1
 \end{array} \\
 \hline
 1 & \overline{a_2 b_3} & \overline{a_1 b_3} & \overline{a_0 b_3} & & & & & \\
 + & & & & 1 & & & &
 \end{array}$$

图 18

然后可将公式(13)的三个部分组合在一起，如下图 19，

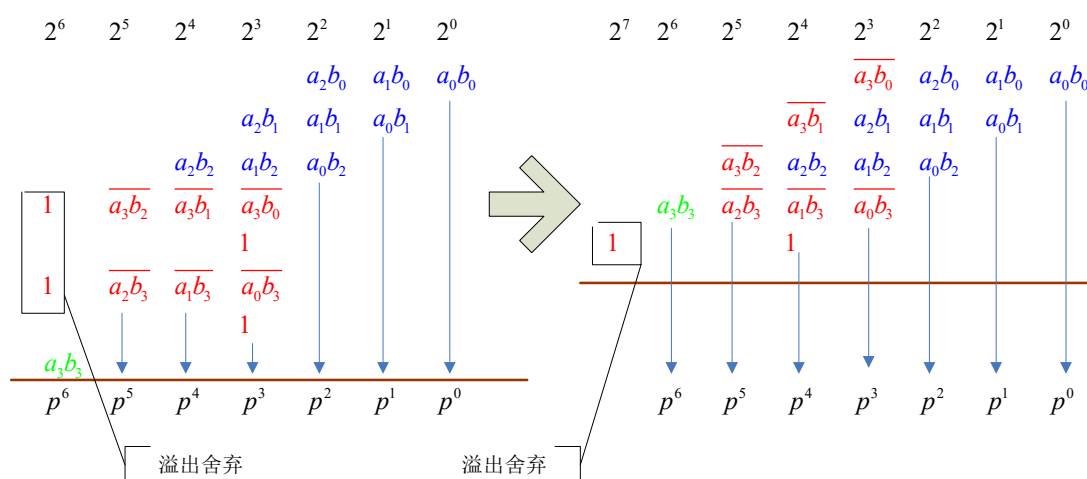


图 19 Baugh-Wooley 乘法器过程

经过巧妙的变形术，竟然能不用符号扩展就能实现乘法器!! 图 19 的 Baugh-Wooley 乘法器比图 8 的一般 2C 乘法器要节省资源（这是个非常有意思的变形）。

练习题：设计基于进位累加和进位保留的 Baugh-Wooley 乘法器，并仿真验证！

乘法器设计的方案很多，上面我们讨论了标准的乘法器设计，和，巧妙的 Baugh-Wooley 乘法器设计。不论怎么说，上面讨论的都是经典乘法器范畴，下面讨论如何来设计更为高速的乘法器。

课本上总结得很好：乘法运算设计两个部分，部分积的产生 和 部分积的累加。“对症下药”，

有两条提高乘法速度的途径：1) 减少部分积的数目，2) 加快部分积累加速度。。前面讨论的进位保留加法器就是通过加快部分积累加速度来提高乘法器速度，那么可不可以设计一种只进行少量部分积累加的乘法器呢？

高手们总是能给出满意的答案，基本思路：通过改造数的编码，从而产生更少的部分积，典型的有 Booth 编码和 CSD 编码，这里先讨论 Booth 编码乘法器，本章后面还会讨论 CSD 编码乘法器。

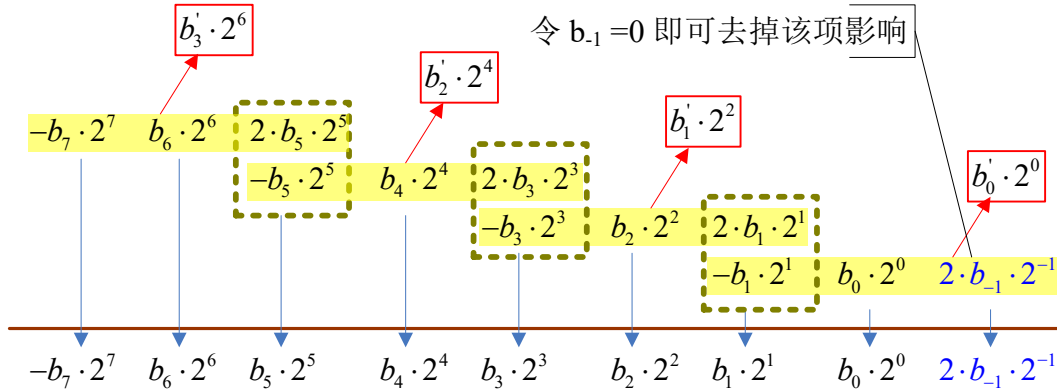


图 20 Booth 编码，其中 $b_{-1} = 0$

改进的 Booth 乘法器，对其中一个乘数进行重编码，如图 20，也就是说，将

$$b_7 b_6 b_5 b_4 b_3 b_2 b_1 b_0 \rightarrow b'_3 b'_2 b'_1 b'_0 \quad (14)$$

编码公式如下

$$b'_i = -2 \cdot b_{2i+1} + b_{2i} + b_{2i-1} \quad (15)$$

其中， $b'_i \in \{-2, -1, 0, 1, 2\}$, $i = 0, 1, 2, 3$ ，称为 5 级 Booth 重编码，容易证明，

$$\sum_{i=0}^3 b'_i \cdot 2^{2i} = -b_7 \cdot 2^7 + \sum_{i=0}^6 b_i \cdot 2^i \quad (16)$$

代码 1 Booth 编码的验证

```
> restart :
> b_{-1} := 0;

                                b_{-1} := 0

> f := sum(B_i * 2^{2*i}, i = 0..3);

                                f := B_0 + 4 B_1 + 16 B_2 + 64 B_3

> sort(subs(seq(B_i = -2 * b_{2*i+1} + b_{2*i} + b_{2*i-1}, i = 0..3), f))

                                b_0 + 2 b_1 + 4 b_2 + 8 b_3 + 16 b_4 + 32 b_5 + 64 b_6 - 128 b_7
```

注意，（改进）BOOTH 乘法只对其中一个乘数进行重编码，比如 B，，那么 A 仍然保持 2C

编码，所以

$$\begin{aligned} A \cdot B &= A \cdot \sum_{i=0}^3 b_i' \cdot 2^{2i} \\ &= A \cdot b_0' + A \cdot b_1' \cdot 2^2 + A \cdot b_2' \cdot 2^4 + A \cdot b_3' \cdot 2^6 \end{aligned} \quad (17)$$

原本应进行 7 次部分积累加，现在“最多”只需进行 3 次部分积累加。。其实，以上讨论还不足以显示出 BOOTH 乘法的威力，我们使用 matlab 来进行一些试编码一些例子，从中总结一下，

代码 2 改进 BOOTH 的非零比特数统计

```
function booth_demo()
clc
N = 500;
b = rand(N,64)>0.5;
M = numel(b);
disp('number of non-zero bits in b');disp(sum(b(:))/M);
n = 0;
for k = 1:N
    n = n+sum(booth_improve(b(k,:))~=0);
end
disp('number of non-zero bits in B');disp(n/M);
disp('save')
disp((sum(b(:))-n)/sum(b(:)));

%b=[MSB... b7,b6,b5,b4,b3,b2,b1,b0,...LSB];
function B = booth_improve(b)
b = fliplr(b);
N = length(b);
K = ceil(N/2);
if mod(N,2)
    b = [0,b,0];
else
    b = [0,b];
end
B = zeros(1,K);
for k = 1:K
    B(k) = -2*b(2*k+1)+b(2*k)+b(2*k-1);
end
B = fliplr(B);
```

number of non-zero bits in b
0.5022

number of non-zero bits in B
0.3744

save

0.2546

代码 2, 统计 64 位随机数的改进 BOOTH 编码的非零比特数, 从运行结果可知, 改进 BOOTH 编码的非零比特比未编码的 2C 数非零比特少 13.03%, 也就是说可以节约 25.46% 的计算功耗?

总结起来, (改进) BOOTH 编码不仅仅可以减少部分积数目 (或者说部分积累加次数), 而且还能带来功耗上的改善!

特别是, 当 2C 码中出现大量连续的 0 或连续的 1 时, (改进) BOOTH 编码将给出更少的非零比特, 从而大幅节约功耗!

代码 3 大量连 1 或连 0 的改进 BOOTH 编码

```
disp('booth_improve([1 1 1 1 0 0 1 1 1 1 1 1 1 1 0 1 1 1 1 1 1 1]);');
disp(booth_improve([1 1 1 1 0 0 1 1 1 1 1 1 1 1 0 1 1 1 1 1 1 1]));
disp('booth_improve([1 0 0 0 0 0 0 1 1 1 0 0 0 0 0 1 0 1 0 0 0 0]);');
disp(booth_improve([1 0 0 0 0 0 0 1 1 1 0 0 0 0 0 1 0 1 0 0 0 0]));

disp('booth_improve([1 0 1 0 1 0 1 0 1 0 1 0 1 0 1 0 1 0 1 0 1 0]);');
disp(booth_improve([1 0 1 0 1 0 1 0 1 0 1 0 1 0 1 0 1 0 1 0 1 0]));

booth_improve([1 1 1 1 0 0 1 1 1 1 1 1 1 1 1 0 1 1 1 1 1 1 1])
    2    0   -2    2    0    0    0   -1    2    0    0   -1

booth_improve([1 0 0 0 0 0 0 1 1 1 0 0 0 0 0 1 0 1 0 0 0 0 0])
    1    0    0    1    0   -2    0    1   -1   -2    0    0

% “最糟糕”的改进BOOTH编码, ^_^bbb
booth_improve([1 0 1 0 1 0 1 0 1 0 1 0 1 0 1 0 1 0 1 0 1 0])
    1    1    1    1    1    1    1    1    1    1    1    1
```

练习题: 请查资料, 弄明白标准 BOOTH 编码算法, 并给出标准 BOOTH 和改进 BOOTH 的区别!

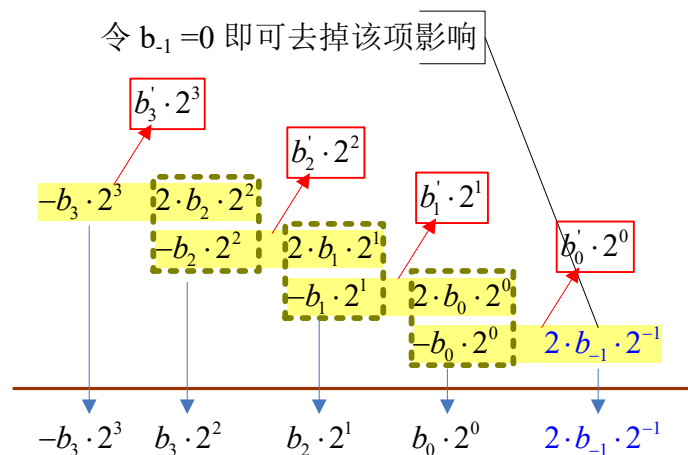


图 21 标准 BOOTH 编码？

关于乘法器的位级运算架构就讨论那么多，想学得更为深入，可以参考最新的相关文献！课本的 Section 13.3，介绍了数字滤波器中，将多个“乘法-加法”的部分积混合在一起计算的一种布局，合理的布局会带来布线复杂度的降低，从而提高系统稳定性和降低功耗节约面积等一堆好处！！

至于深入的布局知识，这里就不讨论了，下图是可用于混合布局的“乘法-加法”特例，

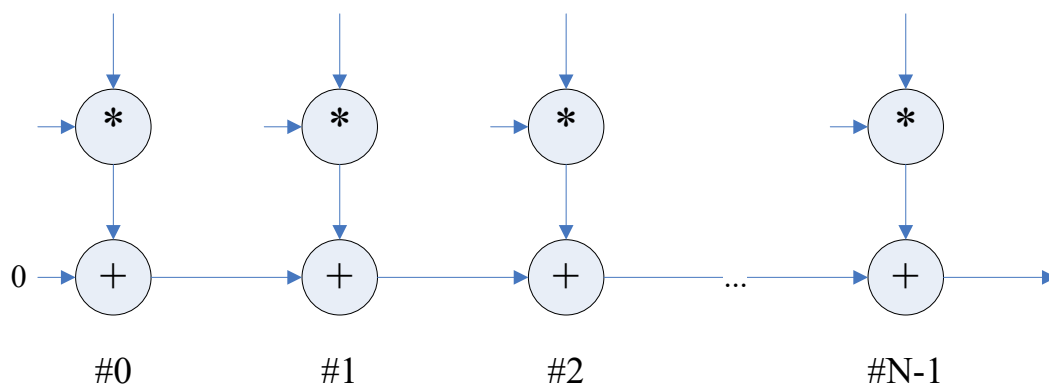


图 22 对各个“乘加”单元的部分积合理布局，混合在一起计算，以便降低布线复杂度

脉动位串行乘法器设计

下面进入本章另一个重点内容：**位串行架构设计**，以**乘法器和滤波器**为例！

相对于大规模的并行处理系统而言，位串行处理系统与其背道而驰，，但并不是说位串行处理系统一无是处，，**在资源紧缺且通信带宽有限的情况下，位串行处理是个不错的选择。**

课本上对乘法器给出两种截然不同的位级设计方法：1) 脉动阵列，和 2) Horner 法则。我们从简单的脉动阵列法开始，脉动阵列在第七章中有过详细讨论，这里不再深入细节。

给出标准乘法器依赖图如下，

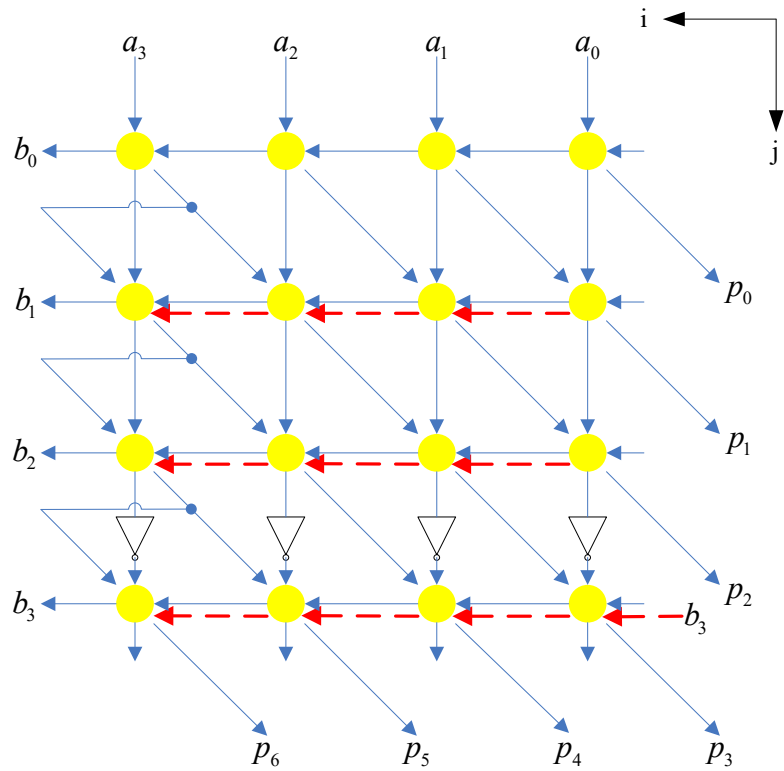


图 23 标准乘法器依赖图，对应图 8

看起来，图 23 的依赖图并不是非常的规则，不过这没关系，只要在具体硬件电路上稍微进行一下“手术”就能得到功能正确的位串行处理架构。

按课本顺序，先来试试例 13.4.1，依赖图如图 24，

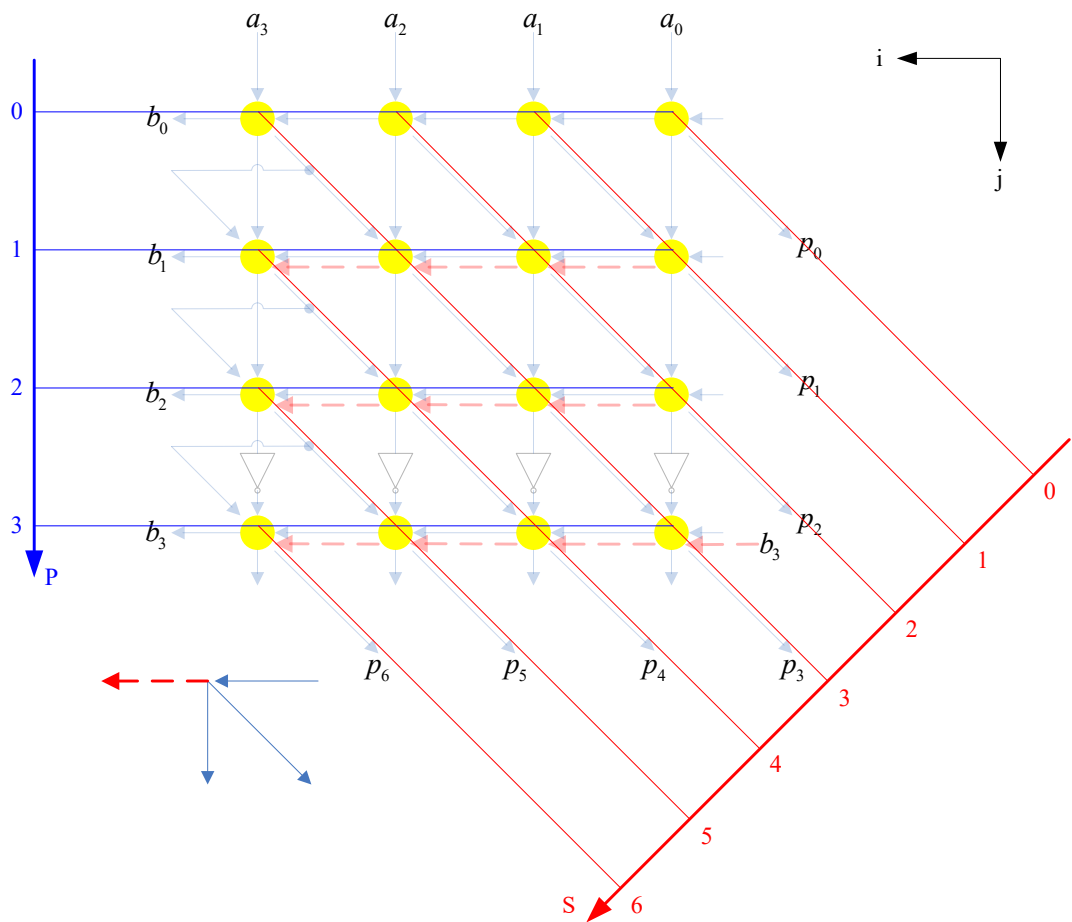


图 24 课本例 13.4.1 $S^T = [1, 1] \wedge P^T = [0, 1]$, 试试看能得到什么硬件架构

根据给出的时间轴和处理器轴，计算边映射关系如下，

表格 1 图 24 脉动边映射表

e^T	$P^T e$	$S^T e$
$a(0, 1)$	1	1
$b(1, 0)$	0	1
$carry(1, 0)$	0	1
$p(-1, 1)$	1	0

根据边映射 表格 1，可画出脉动结构如

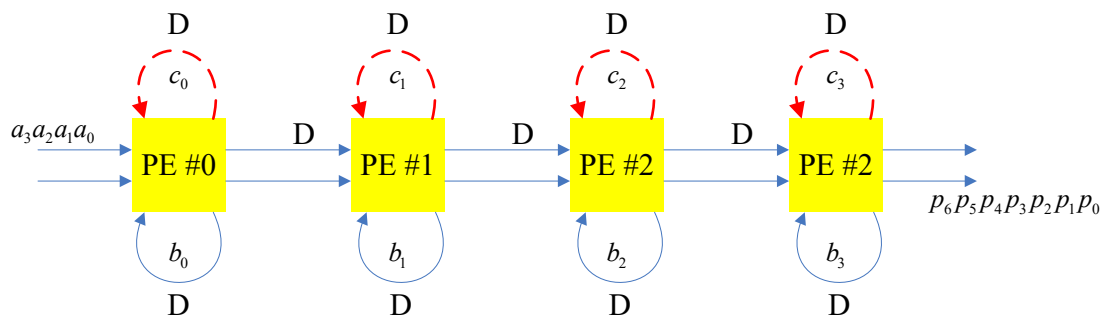


图 25 根据图 24 得出的脉动结构图

接下来的工作就很具有艺术性了，从图 25 设计出具体的硬件电路，，因为原始的依赖图有些些不规则，所以硬件设计中需要进行恰当的“手术”，

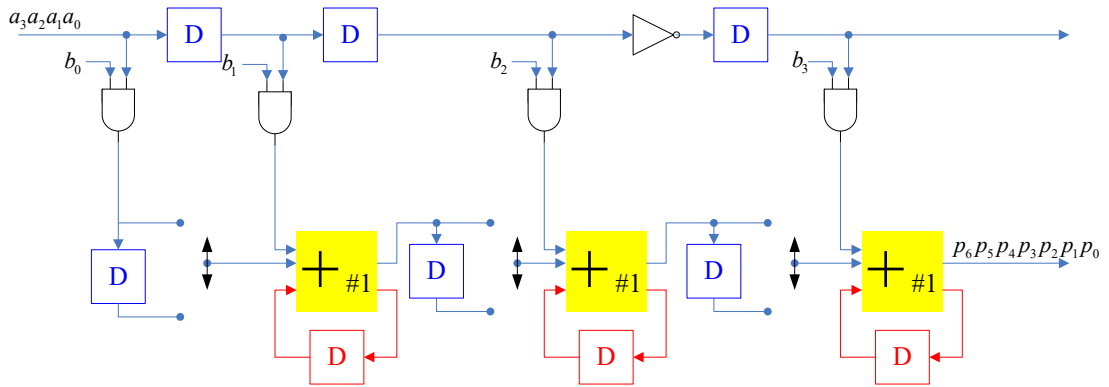


图 26 根据图 25 得出的硬件电路图

有兴趣者可以深入研究，通过编写代码观察仿真的时序，可帮助你理解如何构造硬件电路，同时也是对硬件设计能力的一种磨练。

对比图 26 和课本图 13-17，可以发现，这就是 Lyon's Multiplier，，虽然课本上是用 Horner 法则推导出 Lyon's Multiplier，但这里用脉动技术也能得到相同电路，很强大吧！

例 13.4.1 末尾，提出了一练习，要求设计具有位级流水的 Lyon 乘法器，，回头看图 26 可知，输出链路是一条组合逻辑路径，这也是系统的关键路径，如果能进一步将该输出链路用延时切断，那么就能实现位级流水的 Lyon，，为了达到这个目的，我对着图 24 的依赖图“苦思冥想”好久，发现可以试试这个情况

$$S^T = [1, 2] \wedge P^T = [0, 1] \tag{18}$$

如图 27 示

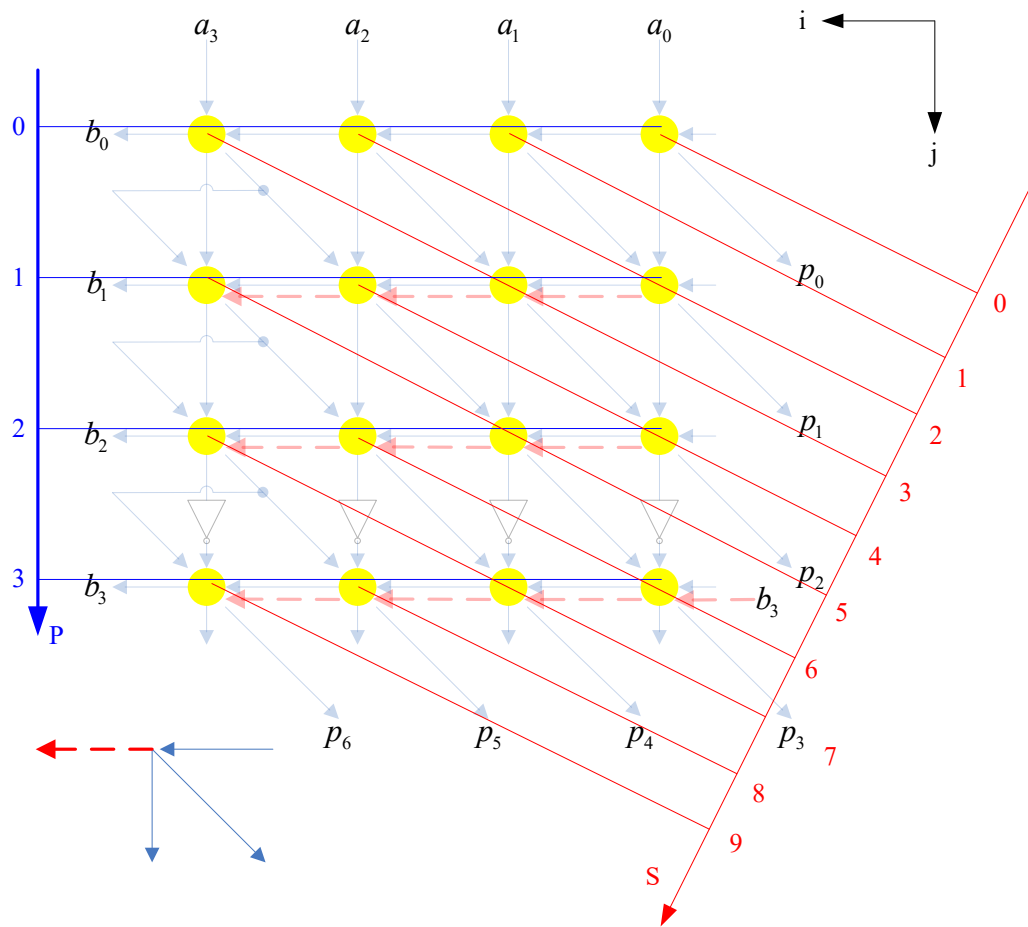


图 27 位级流水 Lyon 乘法器映射图

表格 2 课本习题 10 脉动边映射表

e^T	$P^T e$	$S^T e$
$a(0, 1)$	1	2
$b(1, 0)$	0	1
$carry(1, 0)$	0	1
$p(-1, 1)$	1	1

脉动结构图如下

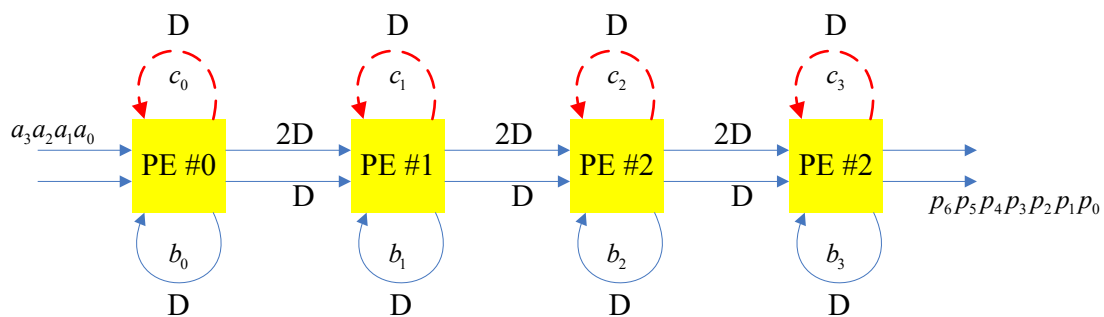


图 28 位级流水 Lyon 乘法器脉动结构

对比图 28 和 图 25，显然位级流水 Lyon 就是在图 25 的前馈割集上插入流水线的结果，应验了课本习题 10 的预言！图 28 硬件电路与图 26 相似，大家自己动手试试，（提示：割集流水线）！

再看下一个例子，
例 13.4.2，

$$P^T = [1, 0] \wedge S^T = [0, 1] \tag{19}$$

脉动映射如图 29，

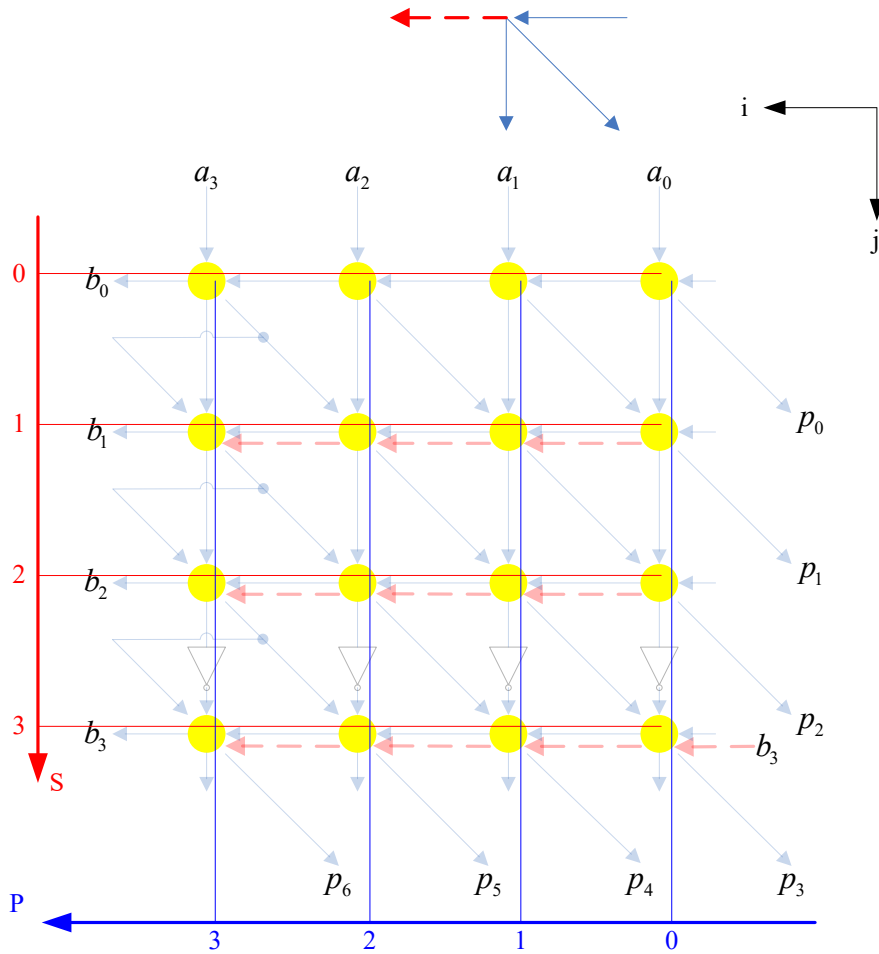


图 29

边映射表如下，
表格 3

e^T	$P^T e$	$S^T e$
$a(0, 1)$	0	1
$b(1, 0)$	1	0
$carry(1, 0)$	1	0
$p(-1, 1)$	-1	1

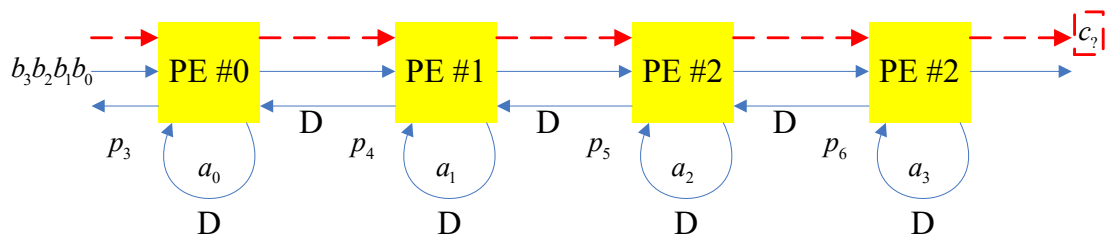


图 30

脉动结构如图 30,，结合图 30 和 图 29，构造具体硬件电路如课本图 13-18。

例 13.4.4 设计具有串行进位矢量合并的进位保留 Baugh-Wooley 乘法器，依赖图如图 31，

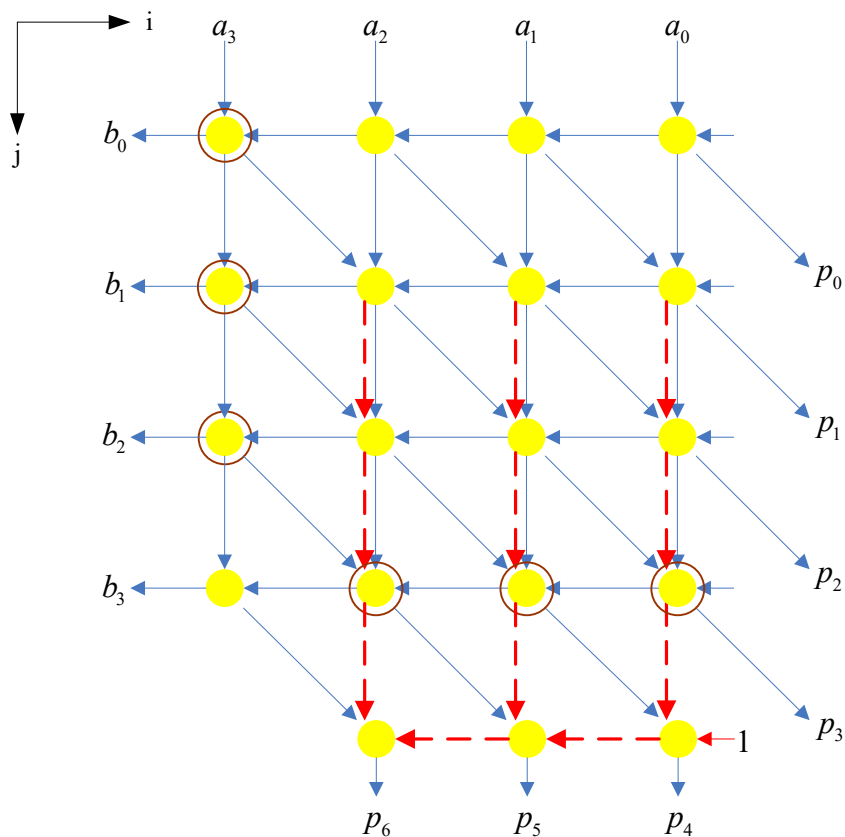


图 31 具有串行进位矢量合并的进位保留 Baugh-Wooley 乘法器依赖图

指定，

$$P^T = [1, 0] \wedge S^T = [0, 1] \quad (20)$$

则，脉动映射如

本的例 13.4.3 和例 13.4.4 的后一部分留作练习，不要光是看课本上的设计结果，自己也动手试试，加上功能强大的仿真软件，我相信你能在曲折中弄懂如何进行复杂的脉动设计。通过对一个设计不断的调试和修改，你也就学会“如何来动手术了”!!
